

*Механизм, расчеты и конструирование машин
и технологического превращения. — Ст. журнок
трудов. №, Вып. меттал., 1980.*

УДК 621.771.073.001.5

Пиж. ГАРКАВИ М. А., канд. физ.-мат. наук ЖИЛИН П. А., канд. техн. наук
РУДЕЛЬСОН В. М.

**АСИМПТОТИЧЕСКИЙ АНАЛИЗ ПЛОСКОЙ ТЕРМОУПРУГОЙ ЗАДАЧИ
ДЛЯ РАБОЧИХ ВАЛКОВ ЛИСТОВЫХ СТАНОВ**

Темновые процессы во вращающихся валках прокатных станов исследовались в работах [1—6], анализ которых показал, что в результате периодического теплового воздействия на поверхности, в валке возникает поле температур, являющееся суперпозицией двух полей осесимметричного, охлаждающего весь валок, и несимметричного, имеющего место в тонком поверхностном слое, толщина которого много меньше радиуса валка.

Решения плоской термоупругой задачи для вращающегося валка [2, 5] показали, что аналогично можно представить и поле термоупругих напряжений. В результате экспериментальных исследований [6] установлено, что условия охлаждения могут оказывать существенное влияние на прочность валков.

В статье приведен асимптотический анализ решения задачи термоупругости для тонкого поверхностного слоя, в результате чего получается достаточно грубые выражения для температуры и термоупругих напряжений. Анализируется также влияние условий охлаждения на напряженное состояние валков.

Задача термоупругости решается в квазистатической постановке. Предполагается, что валок вышел на установленный (квазистационарный) режим, при этом осесимметричное ядро температурного поля характеризуется постоянной температурой, и только в поверхностном слое происходят высокointенсивные тепловые процессы, повторяющиеся при каждом обороте. Такой модели соответствует несесимметричное поле термоупругих напряжений в поверхностном слое, так как осесимметричное ядро температурного поля не создает напряженного состояния.

Для квазистационарного температурного поля в валке ставится задача Неймана. Предполагается, что тепловой поток вращается вокруг валка с постоянной угловой скоростью. Задача сводится к интегрированию уравнения теплопроводности:

$$\frac{1}{r} \frac{\partial}{\partial r} \left(r \frac{\partial T}{\partial r} \right) + \frac{1}{r^2} \frac{\partial^2 T}{\partial \varphi^2} = - \frac{1}{a} \frac{\partial T}{\partial \tau}, \quad (1)$$

$$0 < \varphi \leq 2\pi, \quad 0 < r \leq b, \quad \tau > 0.$$

при граничных условиях и условиях периодичности

$$\frac{\partial T}{\partial r} \Big|_{r=b} = \frac{1}{\lambda} q(\Phi, \tau), \quad T|_{\Phi=0} = T|_{\Phi=2\pi}, \quad q\left(\Phi, \frac{2\pi}{\omega} i\right) = q(\Phi, 0);$$

$$T|_{r=0} < \infty, \quad \frac{\partial T}{\partial \varphi} \Big|_{\Phi=0} = \frac{\partial T}{\partial \varphi} \Big|_{\Phi=2\pi}, \quad T\left(\Phi, \frac{2\pi}{\omega} i\right) = T(\Phi, 0).$$

где $T = T(r, \Phi, \tau)$ — температура валка; $q(\varphi, \tau)$ — тепловой поток на границе; r, Φ — текущие координаты точки в полярных координатах; τ — время; a, i — коэффициенты темпера-ропроводности и теплопроводности; ω — угловая скорость вращения; b — радиус валка; i — произвольное целое число.

К уравнению теплопроводности и граничным условиям необходимо присоединить условие разрешимости задачи Неймана:

$$\int_0^{2\pi} q(\varphi, \tau) d\varphi = 0.$$

Физический смысл которого состоит в равенстве нулю постоянной составляющей теплового потока, пронизывающей боковую поверхность валка. Этими словами, в течение одного оборота выполняется тепловой баланс: количество тепла, полученное валком от прохода в очаге деформации полностью отводится при охлаждении. Пусть известно количество тепла Q , поступившее в валок в очаге деформации на дуге, соответствующей центральному углу δ . Зададим вращающийся тепловой поток в виде функции Гаусса (почти все тепловыделение происходит в очаге деформации):

$$q(\varphi, \tau) = q_0 e^{-\frac{\pi(\varphi-\omega\tau)^2}{\delta^2}}, \quad Q = \int_0^{2\pi} q(\varphi, \tau) d\varphi.$$

Проведем разложение в ряде Фурье на интервале $0 < \varphi < 2\pi$, получим

$$q(\varphi, \tau) = \frac{q_0 \delta}{2\pi} + \frac{q_0 \delta}{\pi} \sum_{n=1}^{\infty} e^{-\frac{n^2 \delta^2}{4\pi}} \cos n(\varphi - \omega\tau), \quad n=1, 2, 3, \dots,$$

где q_0 — средняя плотность теплового потока на дуге захвата.

Если на всей остальной поверхности валка происходит равномерная теплоотдача с плотностью теплового потока q_1 , то из условия разрешимости получаем

$$q_0 \delta = q_1 (2\pi - \delta) \text{ или, так как } \frac{\delta}{2\pi} \ll 1, \quad q_0 \delta = q_1 2\pi.$$

Границное условие уравнения (1) при $r=b$ для этого случая примет вид

$$\frac{\partial T}{\partial r} \Big|_{r=b} = \frac{1}{\lambda} \frac{q_0 \delta}{\pi} \sum_{n=1}^{\infty} e^{-\frac{n^2 \delta^2}{4\pi}} \cos n(\Phi - \omega\tau); \quad (2)$$

Пусть Δ — толщина поверхностного слоя, причем выполняется неравенство $\frac{\Delta}{b} \ll 1$. Переходя в уравнении (1) и в граничном условии (2) к новой переменной ξ по формуле $r = b - \Delta\xi$, $0 < \xi < 1$, получаем после некоторых преобразований с точностью до членов порядка $\frac{\Delta}{b}$ уравнение теплопроводности и граничные условия для поверхности слоя

$$\frac{\partial^2 T}{\partial \xi^2} = \frac{\Delta^2}{a} \frac{\partial T}{\partial \tau}, \quad 0 < \xi < 1, \quad \tau > 0, \quad (3)$$

$$\left. \frac{\partial T}{\partial \xi} \right|_{\xi=0} = -\frac{\Delta}{\lambda} \frac{q_0 \delta}{\pi} \sum_{n=1}^{\infty} e^{-\frac{n^2 \theta^2}{4\pi}} - \frac{n^2 \theta^2}{4\pi} \cos n(\varphi - \omega \tau),$$

$$T|_{\xi=1} = 0.$$

Температура $T = T(\xi, \varphi, \tau)$ ищется в виде разложения:

$$T(\xi, \varphi, \tau) = \sum_{n=1}^{\infty} [\hat{v}_n(\xi) \cos n(\varphi - \omega \tau) + g_n(\xi) \sin n(\varphi - \omega \tau)], \quad (4)$$

где \hat{v}_n , g_n — некоторые функции от ξ .

Постановка выражения в уравнение теплопроводности для слоя (3) дает систему двух уравнений

$$\frac{d^2 \hat{v}_n}{d \xi^2} - 2k^2 \hat{v}_n = 0, \quad \frac{d^2 g_n}{d \xi^2} + 2k^2 g_n = 0, \quad (5)$$

где $2k^2 = \frac{\Delta^2}{a} n \omega$.

Исключая из этих уравнений сначала \hat{v}_n , а затем g_n , находим

$$\frac{d^4 \hat{v}_n}{d \xi^4} + 4k^4 \hat{v}_n = 0, \quad \frac{d^4 g_n}{d \xi^4} + 4k^4 g_n = 0. \quad (6)$$

Полученные уравнения имеют такой же вид, как и уравнения изгиба тонкой плиты, покоящейся на упругом винклеровском основании. Достаточно решить одно из этих уравнений, например, для \hat{v}_n , а затем из первого уравнения (5) определить g_n .

Уравнения (6) решаются при следующих граничных условиях:

$$\hat{v}_n'(0) = B_n, \quad \hat{v}_n(0) = 0, \quad \hat{v}_n''(0) = 0, \quad \hat{v}_n'''(0) = k^2 B_n;$$

$$\hat{v}_n(1) = g_n(1) = \hat{v}_n'(1) = g_n'(1) = 0;$$

где

$$B_n = \frac{\Delta}{\lambda} \frac{q_0 \delta}{\pi} e^{-\frac{n^2 \theta^2}{4\pi}}.$$

Границные условия, содержащие вторую и третью производные, получаются из уравнений (5) и их производных при граничных

значениях переменной ξ . Рассмотрим первое уравнение (6). Его интегралом является функция

$$\hat{v}_n(\xi) = e^{-k\xi}(C_1 \sin k\xi + C_2 \cos k\xi) + e^{k\xi}(C_3 \sin k\xi + C_4 \cos k\xi).$$

Если предположить, что для валка существует такое значение $\Delta_1 > \Delta$, что в области $x = \xi \Delta_1$, $0 < x < \Delta_1$ справедливо асимптотическое уравнение (3), то исходя из затухающего характера температуры при удалении от границы $\xi = 0$, необходимо положить постоянные $C_3 = C_4 = 0$.

Находим из граничных условий при $\xi = 0$ значения постоянных C_1 и C_2 :

$$\hat{v}_n(\xi) = \frac{B_n}{2k} e^{-k\xi} (\sin k\xi - \cos k\xi). \quad (7)$$

Используя первое уравнение (5), находим

$$g_n(\xi) = \frac{B_n}{2} e^{-k\xi} (\cos k\xi + \sin k\xi). \quad (8)$$

Переходя в выражения (7) и (8) к переменной $x = \xi \Delta$, представим разложение (4) в виде

$$T(x, \varphi, \tau) = \frac{q_0 \delta}{\sqrt{2} \lambda} \sqrt{\frac{a}{\omega}} \sum_{n=1}^{\infty} \frac{1}{n} e^{-\left(\frac{n^2 \theta^2}{4\pi} + \sqrt{\frac{n \omega}{2a}} x\right)} \times \\ \times \left[\cos \left(\sqrt{\frac{n \omega}{2a}} x + n(\varphi - \omega \tau) \right) - \sin \left(\sqrt{\frac{n \omega}{2a}} x + n(\varphi - \omega \tau) \right) \right]. \quad (9)$$

Окончательное выражение (9) не зависит от Δ .

На основании полученного выражения определим границу осесимметричного ядра температурного поля x_0 . Очевидно, что первая гармоника разложения затухает при возрастании x медленнее, чем другие. Если довольствоваться точностью в 5 %, то поскольку сумма $\cos z + \sin z \leq \sqrt{2}$, можно сказать, что значение x_0 определяется из неравенства

$$e^{-\sqrt{\frac{n \omega}{2a}} x_0} \sqrt{2} \leq 0,05.$$

Отсюда следует формула для x_0 :

$$x_0 \geq 4,7 \sqrt{\frac{a}{\omega}}. \quad (10)$$

Рассмотрим следующий характерный пример валка толстолистового стака $b = 560$ мм, $\omega = 3,14$ 1/c, $a = 12,5$ мм²/с.

По формуле (10) получаем $x_0 \geq 9,4$ мм, а область, в которой справедливо асимптотическое уравнение теплопроводности, ограничена значением $\Delta_1 \approx 50$ мм.

Определим термоупругие напряжения. Проведем асимптотический анализ термоупругой задачи для круговой области в случае плоского деформированного состояния.

В общем случае решение системы уравнений термоупругости в перемещениях можно представить в виде суммы частного решения неоднородного уравнения для термоупругого потенциала и соответствующей краевой задачи. Уравнение для термоупругого потенциала имеет вид [7]:

$$\frac{1}{r} \frac{\partial}{\partial r} \left(r \frac{\partial \chi}{\partial r} \right) + \frac{1}{r^2} \frac{\partial^2 \chi}{\partial \varphi^2} = mT, \quad 0 < r \leq b, \quad 0 < \varphi < 2\pi, \quad (11)$$

$$m = \frac{1 + \nu}{1 - \nu},$$

где ν — коэффициент Пуассона;

α — коэффициент линейного расширения.

Компоненты напряжения, отвечающие частному решению уравнения (11), определяются выражениями

$$\sigma_r = 2G \left(\frac{\partial^2 \chi}{\partial r^2} - mT \right),$$

$$\sigma_\varphi = -2GmT,$$

$$\sigma_\theta = 2G \left(\frac{1}{r} \frac{\partial \chi}{\partial r} + \frac{1}{r^2} \frac{\partial^2 \chi}{\partial \varphi^2} - mT \right), \quad (12)$$

$$\tau_{r\varphi} = 2G \frac{\partial}{\partial r} \left(\frac{1}{r} \frac{\partial \chi}{\partial \varphi} \right),$$

где

$\sigma_r, \sigma_\varphi, \sigma_\theta, \tau_{r\varphi}$ — компоненты напряжения радиального, продольного, окружного и касательного соответственно.

Границные условия соответствующей краевой задачи получаем по формулам (12). Так, при $r = b$ должно выполняться $\sigma_r(b) = \tau_{r\varphi}(b) = 0$, следовательно, необходимо после вычисления $\sigma_r(b)$ по выражениям (12), в краевой задаче задать

$$\sigma_r(b) = -2G \left[\left(\frac{\partial^2 \chi}{\partial r^2} - mT \right) \right]_{r=b}, \quad \tau_{r\varphi} = -2G \left[\frac{\partial}{\partial r} \left(\frac{1}{r} \frac{\partial \chi}{\partial \varphi} \right) \right]_{r=b}.$$

Асимптотический анализ уравнения для термоупругого потенциала и компонент напряжения дает

$$\frac{\partial^2 \chi}{\partial \xi^2} = \Delta^2 mT,$$

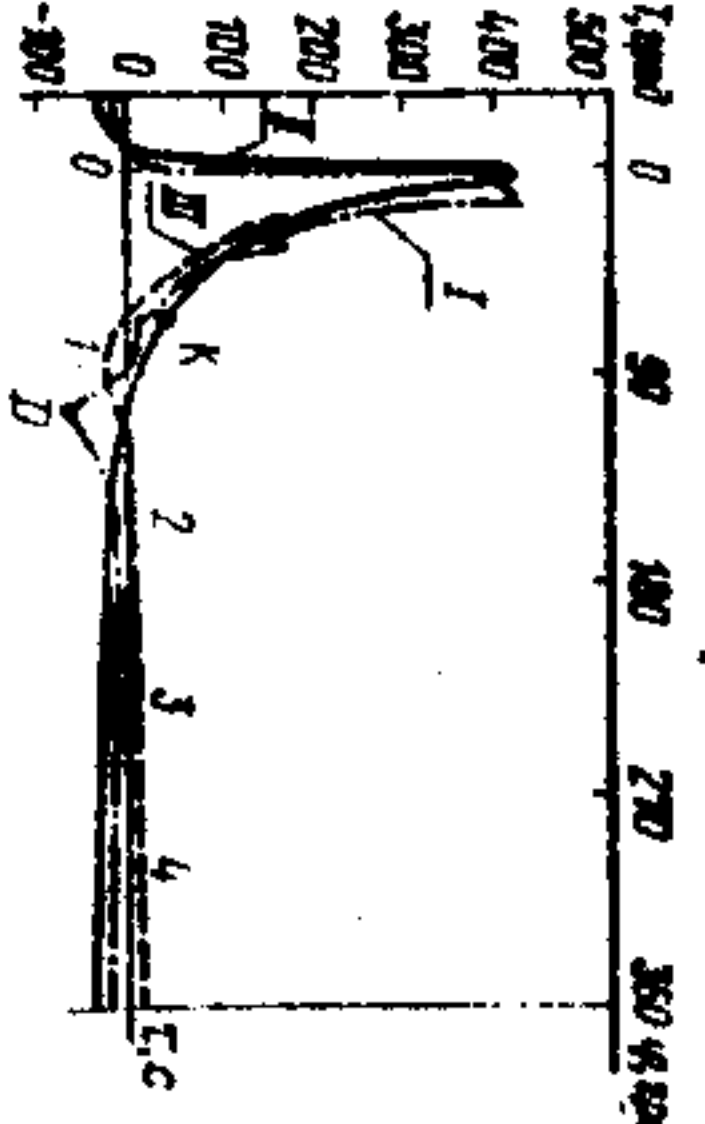
$$\sigma_r = \tau_{r\varphi} = 0, \quad \sigma_\varphi = \sigma_\theta = -2GmT. \quad (13)$$

Таким образом, выражения (9, 13) просто описывают температурное поле и поле термоупругих напряжений прокатного валка. На рисунке показано полученное экспериментально в работе [6] распределение температуры по поверхности валка толстолистового стана горячей прокатки с учетом выделения осесимметричной

составляющей температурного поля (кривая I) и то же распределение температуры, определенное расчетом (кривая II). При расчете было принято, что температура в очаге деформации равна температуре по кривой I. Для определения температур по поверхности валка в разложении (9) принят малость $x = 0, \tau = 0$.

Для выяснения влияния конструктивных особенностей системы охлаждения валков на их стойкость, расчетным путем определялось распределение термических напряжений в поверхностном слое материала валков. Анализ экспериментальной кривой показывает, что при полводе струйного охлаждения к поверхности балка в точке D (кривая I) рисунка, в месте падения струи воды на поверхности валка наблюдается снижение температуры на 40°C по сравнению с осесимметричной составляющей температурного поля. Использовав формулу (13), и полагая $G = 0,8 \cdot 10^6 \text{ кг/см}^2$, $\nu = 0,3$; $\alpha = 12 \cdot 10^{-6} \text{ 1/град}$, получим, что на участке поверхности действия растягивающие напряжения $\sigma_r = \sigma_\theta = 1400 \text{ кг/см}^2$.

Показанная на рисунке кривая III получена расчетным путем при условии, что место полвода охлаждающей воды сдвинуто в сторону очага деформации и находится в точке K кривой II. При этом величина растягивающих напряжений снизилась до 200 кг/см^2 . Эффект, связанный с неравномерным охлаждением, учитывался теоретически путем суперпозиции температурных распределений, обусловленных тепловыми потоками от проката к валку и от валка к охладителю. Полученное снижение растягивающих напряжений должно благоприятно отразиться на стойкости валка, вследствие снижения амплитуды циклических напряжений на его поверхности. Отсюда следует, что полвод охлаждающей воды желательно выполнить таким образом, чтобы струи воды



попадали на поверхность валка в месте, расположенному к выходу металла из очага деформации.

ЛИТЕРАТУРА

1. Иванцов Г. П. К теории теплообмена прокатных валков и раскаленного металла. Журнал технической физики, т. VII, вып. 10, 1937, с. 1114—1125.
2. Денисов Ю. В., Комиссарова М. Л. Известия вузов. Черная металлургия, № 8, 1976, с. 125—133.
3. Поздухин П. И., Николаев В. А., Полухин В. П. и др. Контактное взаимодействие металла и инструмента при прокатке. М., «Металлургия», 1974, 199 с.
4. Третьяков А. В., Гарбер Э. А., Шицков А. Н. и др. Совершенствование теплового процесса листовой прокатки. М., «Металлургия», 1973, с. 300.
5. Cerni Samuel. Iron and Steel Eng., 1963, v. 40, p. 165.
6. Stevens P. G., Ivans K. P., Harper P. Increasing work-roll life by improved rolling practice. Journal of the Iron and Steel Institute, January, 1971, № 1, p. 13.
7. Goodier J. N. On the Integration of the Thermo-Elastic Equations. Phil. Mag., S. 7, v. 23, No 157, May 1937.